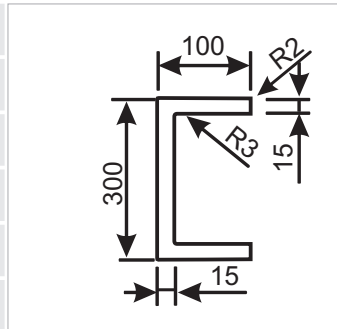


# Profile konstrukcyjne TWS

typ "C" 53C3001015I

wysokość	mm 300
szerokość	mm 100
grubość 1	mm 15
grubość 2	mm 15
kolor	RAL 7035 - szary
długość	mm 8000 (± 10)



$j_x(mm^4)$	$j_y(mm^4)$	powierzchnia( $mm^2$ )	$\sigma(kg/cm^2)$	$\tau(kg/cm^2)$	masa( $kg/m.$ )
85.492.418	5.668.025	7.046,56	480	100	12,50

parametr	wartość	metoda badań	parametr	wartość	metoda badań
zawartości włókna szklanego (%)	60	ISO 1172	wydłużenie przy zerwaniu (%)	1,5	ASTM D638 / UNI 5819
absorbpcja wody (%)	0,4	ASTM D 570 / ISO 62	wytrzymałość na zginanie (MPa)	450	ASTM D790 / UNI 7219
twardość w skali Barcola	50	ASTM 2585	moduł (zginanie) (MPa)	20000	ASTM D790 / UNI 7219
udarność (Charpy'ego) ( $kJ/m^2$ )	230	ASTM D256 / UNI 6062	gęstość $kg/dm^3$	2,0	-
wytrzymałość na rozciąganie (MPa)	450	ASTM D638 / UNI 5819	wytrzymałość na ściskanie (MPa)	300	ASTM D695 / UNI 4279
moduł (rozciąganie) (MPa)	32000	ASTM D638 / UNI 5819	moduł (ściskanie) (MPa)	23000	ASTM D695 / UNI 4279

Pomiary wykonane były prostopadłe do włókna.  
Tolerancja podanych wartości wynosi  $\pm 10\%$   
Tolerancja wymiarów zgodne z normą ASTM D3917-84.  
Powierzchnia profili zgodna z ASTM D 2563-70, poziom II

Podane informacje należy traktować jako wartości średnie, mają one charakter orientacyjny, są wynikiem naszych doświadczeń i podane są w dobrej wierze

materiał	izoftalowa żywica poliestrowa
	tkaniny rowingowe z włókna szklanego typ E - włókna szklane ciągłe - powierzchnia poliester

odporność na starzenie	testy przyspieszonego starzenia przeprowadzono metodą naświetlania UV w kontrolowanych warunkach środowiskowych zgodnie z normą ASTM G154-06 (w trakcie testu prowadzonego przez 1500 h materiał poddawany był ekspozycji w naprzemiennych cyklach: 4 godziny w podwyższonej wilgotności i temperaturze 50°C oraz 4 godziny temperaturze 60°C napromieniowany lampą UVB 313nn, o natężeniu 0,71 W/m <sup>2</sup> )
	<b>w wyniku badań starzenia UV, termicznego i klimatycznego prowadzonych w oparciu o normę EN ISO 9142:2004 (21 cykli typ D3) nie stwierdzono żadnych istotnych zmian w badanym materiale.</b>